

## **Закон подобия в развитом турбулентном пограничном слое**

**Ле Ван Ха**

*Московский физико-технический институт, ул. Гагарина, 16, Московская обл.,  
Жуковский, 140180, Россия  
e-mail: [halevan@mail.ru](mailto:halevan@mail.ru)*

### **Аннотация**

Рассмотрен слабонелинейный вариант волновой модели развитого турбулентного пограничного слоя. Определены дисперсионные характеристики волн наименее затухающей моды, на неравномерной сетке решена спектральная задача для уравнения Орра-Зоммерфельда на турбулентном профиле продольной скорости для определения связи между толщиной потери импульса и мнимой частью собственной частоты наименее затухающей моды волн Толлмина-Шлихтинга как функции от числа Рейнольдса. Приведено сравнение с имеющимися экспериментальными данными.

**Ключевые слова:** несжимаемая вязкая жидкость, турбулентный пограничный слой, уравнение Орра-Зоммерфельда, волны наименее затухающей моды, неравномерная сетка.

## Введение

Развитый турбулентный пограничный слой содержит организованные вихревые структуры [1], которые определяют многие физические свойства этого течения. Последние экспериментальные [2] и численные исследования [3] подтверждают наличие когерентных структур. Течение в развитом турбулентном пограничном слое хорошо описывается с помощью системы уравнений Навье-Стокса. Однако решение этих нелинейных уравнений сопряжено с большими трудностями. Одним из возможных альтернативных подходов решения этих уравнений для развитого турбулентного пограничного слоя является волноводная модель [4], [5], [6], [7], в которой сформулирована гипотеза о равенстве по порядку величины касательных напряжений на стенке и максимального значения декремента наименее затухающей моды волн Толлмина-Шлихтинга. Эта гипотеза выражается соотношением  $d\delta^{**}/dx = \tau_w / 2 = a \left| \max_{\mathbf{k}} \text{Im} \omega(\mathbf{k}, \text{Re}_\delta) \right|$ , которое определяет изменение толщины пограничного слоя вниз по течению. Здесь  $\delta^{**}$  – толщина потери импульса,  $\omega_k(k, \text{Re}_\delta)$  – собственное число наименее затухающей моды спектральной задачи для уравнения Орра-Зоммерфельда на турбулентном профиле средней продольной скорости в пограничном слое,  $\tau_w$  – величина касательных напряжений на стенке,  $a$  – постоянная, определяемая из сравнения с экспериментальными данными. Эта гипотеза позволяет выделить когерентную

структуру и замкнуть систему моментных уравнений, определяющих среднее поле скорости, динамику когерентных пульсаций и спектральную плотность стохастической составляющей. Работа направлена на проверку этой гипотезы.

1. Для согласования рядов теории возмущений (с физической точки зрения это означает, что учитываются процессы диссипации) согласно с работами [5], [6], [7], в турбулентном пограничном слое (ТПС) должно выполняться следующее соотношение:

$$\frac{d\delta^{**}}{dx} = \frac{\tau_w}{2} = a \left| \max_{\mathbf{k}} \operatorname{Im} \omega(\mathbf{k}, \operatorname{Re}_\delta) \right|, \quad a = O(1)., \quad (1)$$

Здесь  $\delta^{**}$  - толщина потери импульса,  $x$  - продольная координата,  $\tau_w$  - безразмерное касательное напряжение на стенке,  $a$  - коэффициент, определяемый из сравнения с экспериментальными данными,  $\omega(\mathbf{k}, \operatorname{Re}_\delta)$  - собственная частота наименее затухающей моды,  $\mathbf{k}$  - волновой вектор,  $\operatorname{Re}_\delta$  - число Рейнольдса по толщине  $\delta$  турбулентного пограничного слоя, определяемой соотношением  $U(\delta) = 0.99U_\infty$ ,  $U_\infty$  - скорость набегающего потока. Эта гипотеза позволяет, наряду с другими предположениями [7], построить математическую теорию развитого турбулентного пограничного слоя. В работе делаются оценки, на основании которых можно судить о справедливости этой гипотезы.

Выделим в уравнении (1) форм параметр  $\delta^{**}/\delta$ , получим:

$$\frac{d\left(\frac{\delta^{**}}{\delta}\right)}{dx} = aF(\text{Re}_\delta) , \quad (2)$$

где  $F(\text{Re}_\delta) = \left| \max_{\mathbf{k}} \text{Im} \omega(\mathbf{k}, \text{Re}_\delta) \right|$ .

В свою очередь, величина  $\delta^{**}/\delta$  является функцией от  $\text{Re}_\delta$ . Умножим и разделим на  $\frac{U_\infty}{\nu}$ , учитывая, что  $\text{Re}_\delta = \frac{U_\infty \delta}{\nu}$ ,  $\text{Re}_x = \frac{U_\infty x}{\nu}$ , получим:

$$\frac{d\left(\frac{\delta^{**}}{\delta} \text{Re}_\delta\right)}{d \text{Re}_x} = aF(\text{Re}_\delta) \quad (3)$$

Уравнение (3) – обыкновенное дифференциальное уравнение первого порядка относительно функции  $\text{Re}_\delta(\text{Re}_x)$  с начальным условием  $\text{Re}_\delta \Big|_{\text{Re}_{x_0}} = \text{Re}_{\delta_0}$ .

Коэффициент  $a$  определяется из сравнения с экспериментальными данными.

Для того, чтобы решить уравнение (3) нам необходимо определить зависимость  $\frac{\delta^{**}}{\delta}(\text{Re}_\delta)$ , а так же функцию  $F(\text{Re}_\delta) = \left| \max_{\mathbf{k}} \text{Im} \omega(\mathbf{k}, \text{Re}_\delta) \right|$ .

По определению, толщина потери импульса определяется по формуле:

$$\frac{\delta^{**}}{\delta}(\text{Re}_\delta) = \int_0^1 U(y, \text{Re}_\delta) [1 - U(y, \text{Re}_\delta)] dy \quad (4)$$

$U$  – продольная скорость среднего течения в ТПС, в зависимости от поперечной координаты  $y$  и числа Рейнольдса, определяемого по толщине  $\delta$ .

С очень хорошей точностью турбулентный профиль скорости был приведен в работе [9], но только при одном конкретном числе Рейнольдса  $\text{Re}_{\delta^{**}} = 2450$ .

Чтобы определить зависимость  $\frac{\delta^{**}}{\delta}(Re_\delta)$  нам нужен более универсальный профиль скорости, который описывает течение в зависимости от числа Рейнольдса  $Re_\delta$ . Такой универсальный профиль скорости был получен в работе [10].

$$U[y, Re_\delta] = 0.99 \sqrt{\frac{C_f[Re_\delta]}{2}} * \left[ \begin{array}{l} 5.424 \arctan \left[ \frac{2y^* \delta \delta v - 8.15}{16.7} \right] + \lg \left[ \frac{(y^* \delta \delta v + 10.6)^{9.6}}{\left( (y^* \delta \delta v)^2 - 8.15 y^* \delta \delta v + 86 \right)^2} \right] \\ -3.51132976630722515 + 2.44(0.14 y^2 * (6 - 4y) + y^2 * (1 - y)) \end{array} \right] \quad (5)$$

Где  $C_f(Re_\delta)$  - коэффициент трения на поверхности пластины :

$$C_f [Re_\delta^{corr}] = \frac{2\kappa^2}{ProductLog [\kappa Re_\delta^{corr} \exp(B\kappa + 2p)]^2}, \delta \delta v = \sqrt{\frac{C_f [Re_\delta^{corr}]}{2}} * Re_\delta^{corr}, \quad (6)$$

$$Re_\delta^{corr} = k_0 Re_\delta, p = 0.14, \kappa = 0.41, B = 5, k_0 = 0.83.$$

Здесь  $ProductLog[x] = w$  -это специальная функция, которая определяется из решения уравнения  $x = we^w$  [15].

В работе введен дополнительный коэффициент  $k_0 = 0.83$  перед  $Re_\delta$  для наилучшего совпадения профиля (5), (6) с экспериментальными данными, представленными в монографии [9].

Кроме того, существует и другая формулировка для турбулентного профиля скорости с использованием самоподобной аппроксимации и сращивания решений [11] [12], которая тоже хорошо аппроксимирует с экспериментальными данными .

2. Подставляя профиль (5) в формулу (4), мы получим зависимость  $\frac{\delta^{**}}{\delta} = f(\text{Re}_\delta)$ .

Аппроксимируем эту кривую степенной функцией  $q/\text{Re}_\delta^\theta$ . Получим  $q \cong 0.1664$  и  $\theta \cong 0.05587$ . Сравнение с численным результатом показано на рисунке 1 (точки).

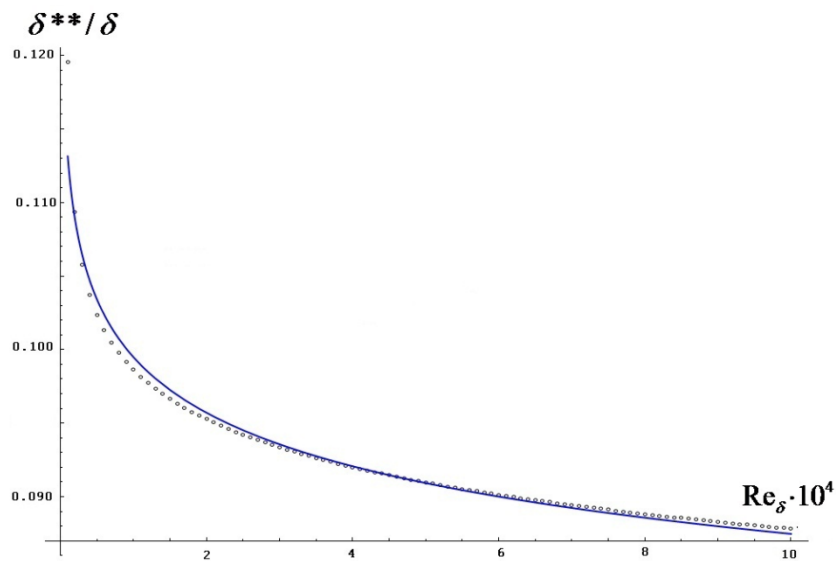


Рис.1: Зависимость  $\frac{\delta^{**}}{\delta}(\text{Re}_\delta)$ , определенная по профилю (5), (6) (точки), и аппроксимирующая кривая.

Зависимость  $F(\text{Re}_\delta) = \left| \max_{\mathbf{k}} \text{Im } \omega(\mathbf{k}, \text{Re}_\delta) \right|$  определяется из решения спектральной задачи для уравнения Орра-Зоммерфельда. Спектральная задача определена уравнениями :

$$(U(y)-c)\left(\frac{\partial^2}{\partial y^2}-k^2\right)\varphi-U''(y)\varphi-\frac{1}{i\alpha\text{Re}}\left(\frac{\partial^2}{\partial y^2}-k^2\right)^2\varphi=0, \quad k=\sqrt{\alpha^2+\beta^2}, \quad (7)$$

$$\varphi|_{y=0}=\varphi'|_{y=0}=0, \quad \varphi=\varphi'=0, y\rightarrow\infty. \quad (8)$$

Здесь  $U(y)$  средняя продольная скорость,  $c=\omega/\alpha$  - фазовая скорость волны Толлмина-Шлихтинга,  $\alpha, \beta$  - соответственно продольное и поперечное волновые числа,  $\varphi$  - вертикальный компонент скорости.

Эта задача решалась ранее в работе [7] методом, предложенным в работе [13], при этом сетка была равномерной. Однако уравнение Орра-Зоммерфельда содержит члены, связанные с скоростью  $U(y)$  и её второй производной  $U''(y)$ . Из рисунка 2 видна особенность профиля скорости: он сильно меняется в очень узкой области вблизи границы. Поэтому для уточнения предлагается деформировать сетку с учетом градиентов.

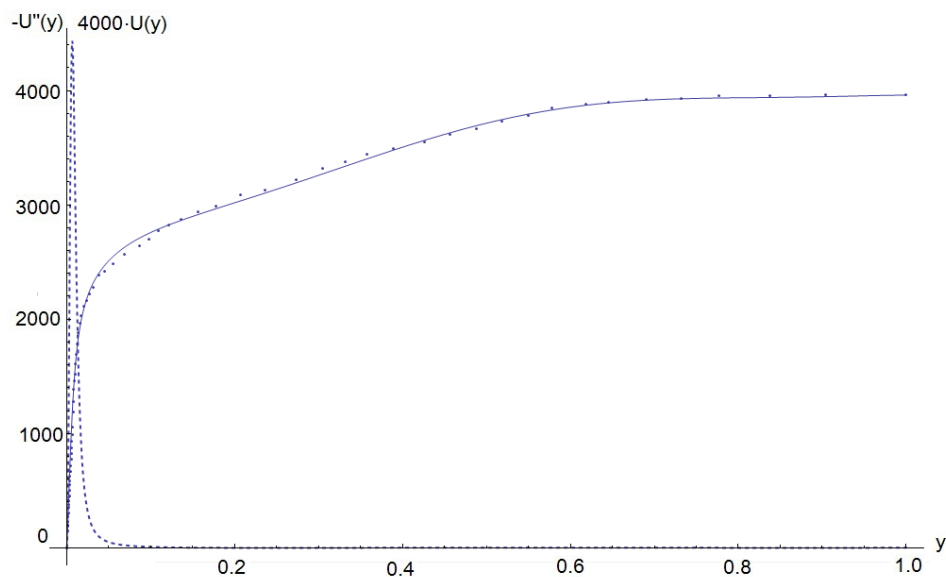


Рис.2: Профиль скорости и её вторая производная при  $Re_\delta = 2450$  [8].

$$\text{—} 4000*U(y) \qquad \text{---} U''(y)$$

- Экспериментальный профиль скорости из монографии [9].

Для решения уравнения (7) с граничными условиями (8) разобьём интервал [13]  $y \in [0,1]$  на малые участки некоторым упорядоченным набором точек, проинтегрируем дифференциальное уравнение Орра-Зоммерфельда в каждой ячейке от полуузла до полуузла. При вычислении интеграла надо учесть тот факт, что значения функций берутся в центрах ячеек, а значение интеграла вычисляется по формуле :

$$\int_{y_{i+\frac{1}{2}}}^{y_{i-\frac{1}{2}}} f \varphi dy = \frac{y_{i+\frac{1}{2}} - y_{i-\frac{1}{2}}}{2} \left( (f \varphi) \Big|_{y_{i+\frac{1}{2}}} + (f \varphi) \Big|_{y_{i-\frac{1}{2}}} \right) = \frac{y_{i+\frac{1}{2}} - y_{i-\frac{1}{2}}}{2} \left( (f \varphi)_{i+\frac{1}{2}} + (f \varphi)_{i-\frac{1}{2}} \right)$$

$$\int_{y_{i-\frac{1}{2}}}^{y_{i+\frac{1}{2}}} f \varphi'' dy = \int_{y_{i-\frac{1}{2}}}^{y_{i+\frac{1}{2}}} f d\varphi' = (f \varphi') \Big|_{y_{i-\frac{1}{2}}}^{y_{i+\frac{1}{2}}} - \int_{y_{i-\frac{1}{2}}}^{y_{i+\frac{1}{2}}} f' \varphi' dy$$

$$\varphi_{n+\frac{1}{2}} = \frac{\varphi_n + \varphi_{n+1}}{2}$$

$$\varphi^{(m)} \left[ y_{i+\frac{1}{2}} \right] = \frac{1}{y_{i+1} - y_i} \left( \varphi^{(m-1)} [y_{i+1}] - \varphi^{(m-1)} [y_i] \right) = \frac{1}{y_{i+1} - y_i} \left( (\varphi^{(m-1)})_{y_{i+1}} - (\varphi^{(m-1)})_{y_i} \right) \quad (9)$$

$$\varphi'_{y_i} = \frac{(y_i - y_{i-1})\varphi_{y_{i+1}}}{(y_{i+1} - y_i)(y_{i+1} - y_{i-1})} - \frac{(y_{i+1} - 2y_i + y_{i-1})\varphi_{y_i}}{(y_i - y_{i+1})(y_i - y_{i-1})} - \frac{(y_{i+1} - y_i)\varphi_{y_{i-1}}}{(y_{i-1} - y_i)(y_{i-1} - y_{i+1})}.$$

$$\varphi''_{y_i} = -\frac{2(y_{i+1} - 2y_i + y_{i-1})\varphi_{y_{i+2}}}{(y_{i+2} - y_{i+1})(y_{i+2} - y_i)(y_{i+2} - y_{i-1})} - \frac{2(y_{i+2} - 2y_i + y_{i-1})\varphi_{y_{i+1}}}{(y_{i+1} - y_{i+2})(y_{i+1} - y_i)(y_{i+1} - y_{i-1})} -$$

$$\frac{2(y_{i+2} + y_{i+1} - 3y_i + y_{i-1})\varphi_{y_i}}{(y_i - y_{i+2})(y_i - y_{i+1})(y_i - y_{i-1})} - \frac{2(y_{i+2} + y_{i+1} - 2y_i)\varphi_{y_{i-1}}}{(y_{i-1} - y_{i+2})(y_{i-1} - y_{i+1})(y_{i-1} - y_i)}$$

Для того чтобы учесть большие градиенты вблизи границы, воспользуемся неравномерной сеткой. С помощью неравномерных сеток определим первые моды уравнения Орра-Зоммерфельда при разных  $\alpha$  и  $\text{Re}_\delta$ . Количество узлов  $N = 201$ . При этом, точки - узлы сеток определяются равномерно по скорости в соответствии с уравнением:

$$U(y_i) = \frac{U[0.05]}{100} i, \quad i = 0, 1, 2, \dots, 100$$

остальные точки берутся равномерно по  $y$ .

В результате получаем систему однородных линейных уравнений, которые замыкаются [14] с помощью дискретизированных условий вида:

$$\begin{cases} \varphi(y_0) = 0, \\ \varphi'(y_0) = 0, \\ \varphi''(y_N) + \mathbf{k}\varphi'(y_N) = 0, \\ \varphi'(y_N) + \mathbf{k}\varphi(y_N) = 0 \end{cases} \quad (10)$$

При этом полученная матрица ( $m$ ) имеет вид:  $m = m_1 + c.m_2$ , спектральная задача для которой определяется соотношением:  $m \cdot \mathbf{x} = 0$ ,  $\mathbf{x}$  - собственный вектор задачи, которая далее приводится к стандартному виду

$$(A - \lambda E) \cdot \mathbf{x} = 0. \quad (11)$$

Спектральная задача (11) решается с помощью стандартной программы [13].

Определяя  $c$  при разных значениях  $\alpha$ , получим закон дисперсии

$$\omega(\alpha) = \alpha c(\alpha), \omega(\alpha) = \omega_r(\alpha) + i\omega_i(\alpha), i^2 = -1. \text{ Функция } \omega_i(\alpha) \text{ изображена на рис. 3.}$$

Найдя положение точек максимума наименее затухающей моды при различных

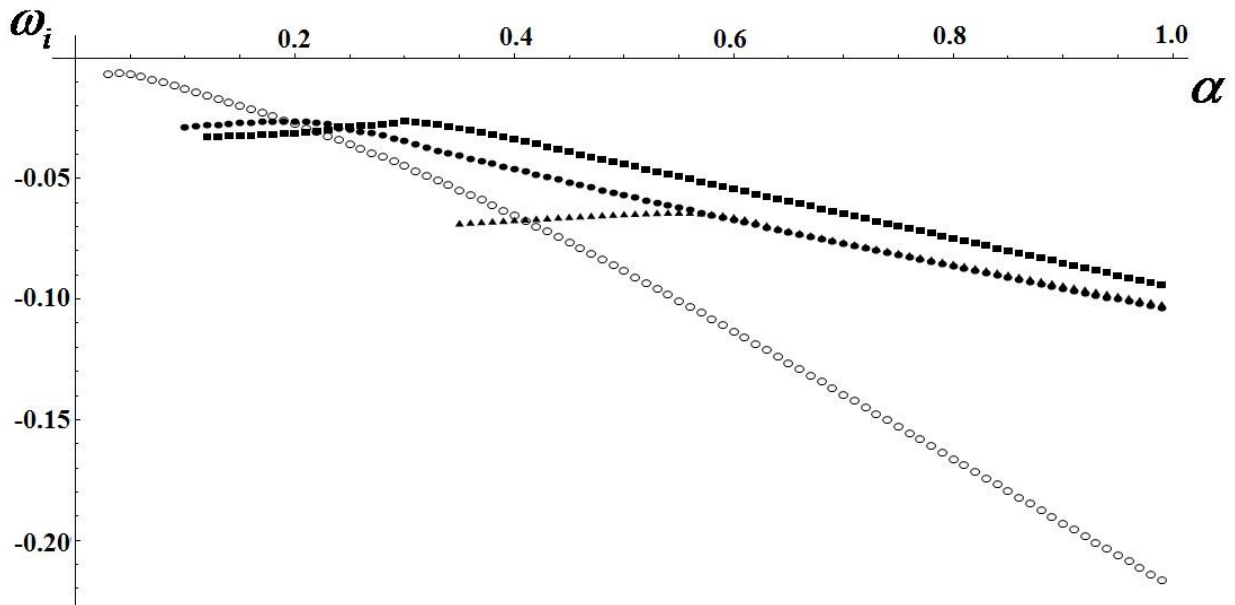


Рис.3: Дисперсионный закон для профиля Мускерапри  $Re_\delta = 25000$ .

- закон дисперсии для первой моды, ● закон дисперсии для второй моды,  
 ■ закон дисперсии для третьей моды, ▲ закон дисперсии для четвертой  
 моды.

значениях  $Re_\delta$ , мы получим кривую, изображающую зависимость максимума мнимой части собственной частоты от  $Re_\delta$  для первой моды. Аппроксимируем

эту кривую степенной функцией  $a_1 / Re_\delta^\mu$ . Получим  $a_1 \cong 69.42$  и  $\mu \cong 0.983$ .

Сравнение с численным результатом показано на рисунке 4 (точки).

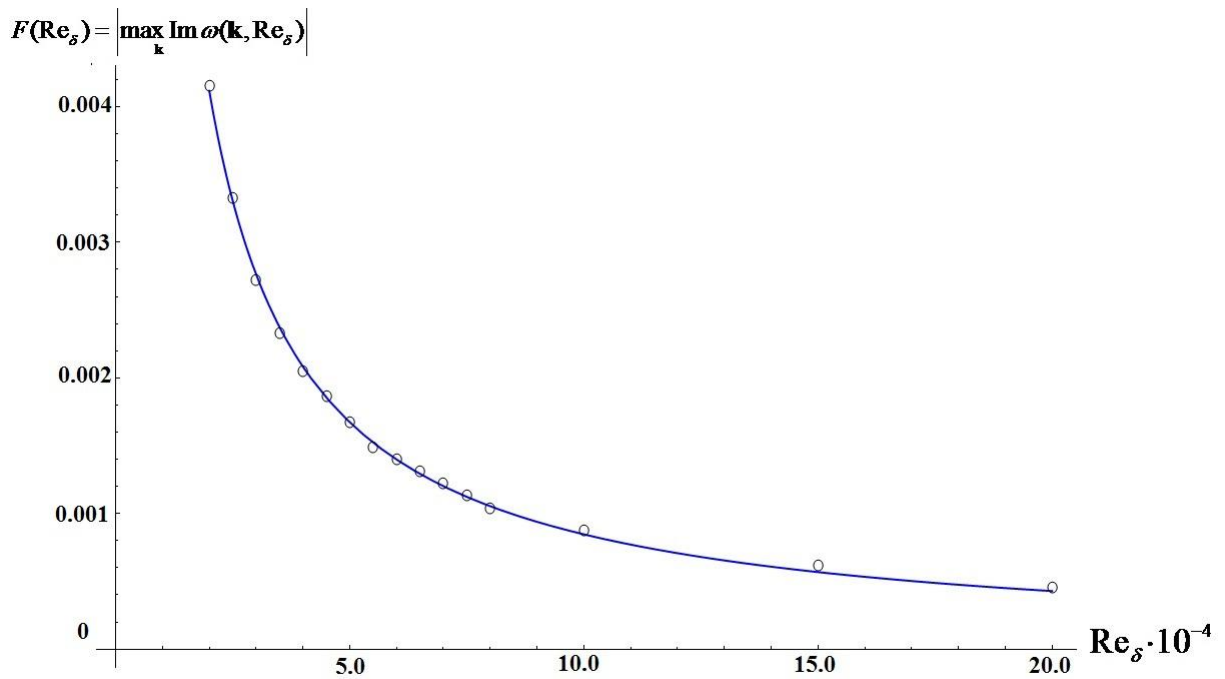


Рис.4: Зависимость  $F(\text{Re}_\delta) = \left| \max_{\mathbf{k}} \text{Im } \omega(\mathbf{k}, \text{Re}_\delta) \right|$  для первой моды .

3. Подставим зависимости  $\frac{\delta^{**}}{\delta}(\text{Re}_\delta)$  и  $F(\text{Re}_\delta) = \left| \max_{\mathbf{k}} \text{Im } \omega(\mathbf{k}, \text{Re}_\delta) \right|$  в ОДУ (3), решая его, при различных значениях  $a$ , мы получим разные кривые с различными наклонами. При  $a = 0.3$ , мы получим кривую, которая ближе всего к экспериментальным и теоретическим значениям данных, приведенных в монографии [8].

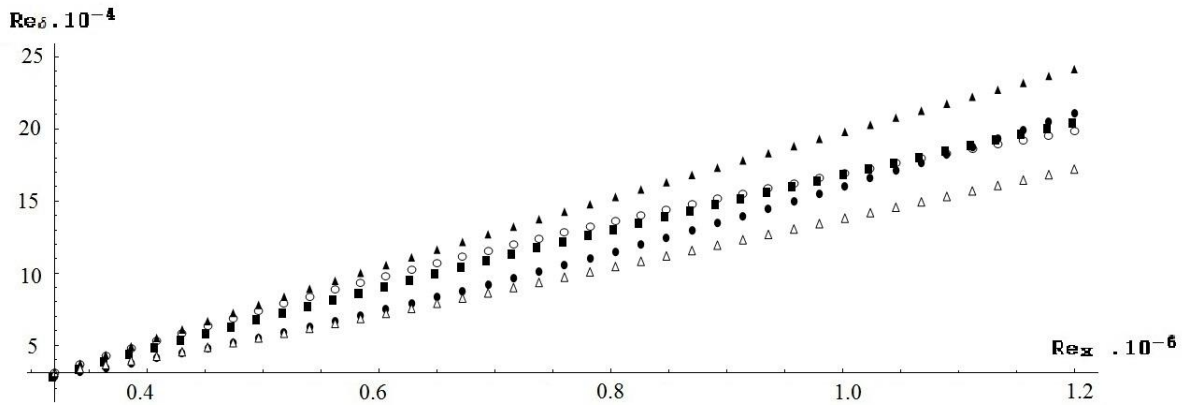


Рис.5: Зависимость  $Re_{\delta}(Re_x)$ .

○ численный результат, ● закон стенки 1/7, ■ по измерениям Ханзена, △ закон сопротивления для перехода от ламинарного течения к турбулентному, ▲ закон сопротивления Прандтля-Шлихтинга.

На рис.5 изображены кривые зависимости  $Re_{\delta}(Re_x)$ : Ханзен [8, стр.50], закон стенки 1/7 для пластины [8, стр.574], закон сопротивления Прандтля-Шлихтинга [8, стр.578], закон сопротивления для перехода от ламинарного течения к турбулентному [8, стр. 578] (обобщение закона Прандтля-Шлихтинга) и результаты настоящей работы. Сравнение показывает, что  $a = 0.3$ .

### Заключение :

Из рис.5 видно, полученные численно результаты укладываются в имеющийся разброс экспериментальных данных. Следует заметить, что

численный результат получен при использовании начального значения  $Re_\delta|_{Re_{\delta_0}} = Re_{\delta_0}$ , которое, вообще говоря, выходит за область применения рассматриваемого закона подобия, полученного для чисел Рейнольдса существенно превышающее число Рейнольдса перехода.

Величина  $\left| \max_k \text{Im} \omega(\mathbf{k}, Re_\delta) \right|$  получена при  $k = \alpha$ . Можно предположить, что в плоскости  $(\alpha, \beta)$  величина  $\left| \max_k \text{Im} \omega(\mathbf{k}, Re_\delta) \right|$  определяется другими максимумами при  $\beta \neq 0$  что требует дополнительного исследования.

Так же не исключен вариант, когда коэффициент  $a$  слабо зависит от числа Рейнольдса по толщине турбулентного пограничного слоя  $Re_\delta$ .

*Работа поддержана Российским Фондом Фундаментальных Исследований  
(грант № 14-08-00960).*

### **Библиографический список**

1. Белоцерковский О.М., Хлопков Ю.И., Жаров В.А., Горелов С.Л., Хлопков А.Ю. Организованные структуры в турбулентных течениях. Анализ экспериментальных работ по турбулентному пограничному слою. - М.: МФТИ, 2009. – 302 с.

2. Borodulin V.I. Experimental detection of deterministic turbulence. V.I. Borodulin, Y.S. Kachanov, A.P. Roschektayev. Journal of Turbulence. 2011. V. 12. N 23. C.1-34.
3. Khujadze G. Coherent vorticity extraction in turbulent boundary layers using orthogonal wavelets / G. Khujadze. R. Nguyen van yen, K. Schneider, M. Oberlack, Farge M. 13<sup>th</sup> European Turbulence Conference (ETC-13). Warsaw, Poland, 2011.
4. Landahl M.T. A wave-guide model for turbulent shear flow // J. Fluid Mech. 1967. V. 29.Pt.3. C.441-459.
5. Жаров В.А. О волновой теории развитого турбулентного пограничного слоя // Ученые записки ЦАГИ. 1986. Т. XVII. № 5. С. 28-38.
6. Боголепов В.В., Жаров В.А., Липатов И.И., Хлопков Ю.И. Модель турбулентного пограничного слоя с явным выделением когерентной генерационной структуры // Прикладная механика и техническая физика. 2002. Т. 43, №4, С. 65-74.
7. Vladimir Zharov .Waveguide model of coherent structures in the developed turbulent boundary layer. 14<sup>th</sup> European turbulence conference, 1-4 september 2013, Lyon, France, Book of Abstracts.
8. Шлихтинг Г. Теория пограничного слоя. – М.: Наука, 1974.-711с.
9. Репик Е.У., Соседко Ю.П. Турбулентный пограничный слой. Методика и результаты экспериментальных исследований. - М.: Физматлит, 2007. – 312 с.

10. Musker A .J . Explicit expression for the smooth wall velocity distribution in a turbulent boundary layer // AIAA Journal. 1979. V.17, no 6, pp/. 655-657.
11. Тун Т. Определение поля средней скорости в переходной области пограничного слоя на пластине в несжимаемой жидкости маятника // Журнал «Труды МАИ», 2010, выпуск №39: <http://www.mai.ru/science/trudy/published.php?ID=14854> (дата публикации 16 августа 2010).
12. Горелов С.Л., Зея С., Падение тел на Землю из Дальнего космоса // Журнал «Труды МАИ», 2010, выпуск №39: <http://www.mai.ru/science/trudy/published.php?ID=14804> (дата публикации 16 августа 2010).
13. Jordinson R. The flat plate boundary layer. Part 1. Numerical investigation of the Orr-Sommerfeld equation/ J. Fluid Mech. – 1970. –V 43, part 4. – P. 801-811.
14. Гольдштик М.А., Штерн В.Н. Гидродинамическая устойчивость и турбулентность. – Новосибирск: Наука, 1977. - 366 с.
15. Mathematica 5.0, Users Guid. Wolfram Research, –2003. URL: [http://home.snafu.de/mathema/wolfram/mma\\_news.htm](http://home.snafu.de/mathema/wolfram/mma_news.htm)